

ОБЪЕДИНЕННЫЙ
ИНСТИТУТ
ЯДЕРНЫХ
ИССЛЕДОВАНИЙ
ДУБНА



9/11-75

A-646

P1 - 8677

2082/2-75

Н.Ангелов, Л.Анёла, И.А.Ивановская,
Е.Н.Кладницкая, Н.Н.Мельникова, А.Михул,
Н.Г. Фадеев

ЗАРЯДОВЫЙ ОБМЕН В π^-n -ВЗАИМОДЕЙСТВИЯХ
ПРИ ИМПУЛЬСЕ 40 ГЭВ/С

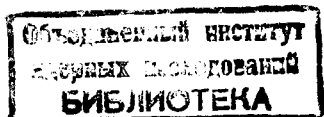
1975

Р1 - 8677

Н.Ангелов, Л.Анёла*, И.А.Ивановская,
Е.Н.Кладницкая, Н.Н.Мельникова, А.Михул,
Н.Г. Фадеев

ЗАРЯДОВЫЙ ОБМЕН В π^-n - ВЗАИМОДЕЙСТВИЯХ
ПРИ ИМПУЛЬСЕ 40 ГЭВ/С

Направлено в ЯФ



* Институт ядерной физики, Краков

Введение

Теоретические работы Чу и Янга /1/, а также Квига и Томаса /2/ стимулировали исследование зарядового обмена в различных процессах с целью выяснения механизма взаимодействия частиц при высоких энергиях. Экспериментально зарядовый обмен изучался в инклюзивных реакциях для $\pi^\pm p$ /3/, k^-p /4/ и $p\bar{p}$ -взаимодействий /5-8/.

В настоящей работе исследуется зарядовый обмен в π^-n -взаимодействиях при 40 ГэВ/с.

Для определения зарядового обмена в каждом событии использовалась величина

$$\Delta Q = \sum_{i=0}^n Q_i - Q_a ,$$

где Q_i - заряд i -ой частицы, n - число частиц в событии с продольной быстротой в с.ц.м. $y^* > 0$, Q_a - заряд налетающей частицы. В нашем случае $Q_a = -1$, и величина

$$\Delta Q = \sum_{i=0}^n Q_i + 1 .$$

Напомним, что существенным свойством фрагментационной модели Чу и Янга /1/ является отсутствие зарядового обмена ($\Delta Q = 0$) для большинства взаимодействий частиц при бесконечно большой энергии. В этой модели сечение процессов с $\Delta Q \neq 0$ должно стремиться к нулю с увеличением энергии налетающей частицы. Предсказания мультипериферической модели Квига и Томаса /2/ сводятся к тому, что с ростом энергии должно стремиться к нулю среднее значение ΔQ . Для квадрата дисперсии распределения по $\Delta Q - D^2$ - ожидается рост с энергией во фрагментационной модели /1/ и стремление к постоянной, не равной нулю, величине, в мультиперифери-

ческой /2/. Экспериментальные данные, полученные в настоящей работе, сравниваются с результатами других исследований /3-8/.

1. Экспериментальный материал

В работе использовались снимки с двухметровой проекционной пузырьковой камеры, облученной в пучке π^- -мезонов с импульсом 40 ГэВ/с на ускорителе ИФВЭ в Серпухове. При отборе π^- -взаимодействий использовались критерии, изложенные в работе /9/. Кроме того, из 3- и 5-лучевых событий с $\Delta Q = 0$ была исключена примесь событий, связанная с когерентным рождением пионов на углероде. При этом использованы следующие значения сечений $\sigma_3^{\text{КОГ}} = 4,4 \text{ мб} /10/*$ и $\sigma_5^{\text{КОГ}} = 0,3 \text{ мб} /10/$.

Из однолучевых событий примесь упругих π^- -взаимодействий и событий когерентного рождения по реакции $\pi^-c \rightarrow \pi^- \pi^0 \pi^0 c$ полностью не исключена, т.к. невозможно точно определить эту примесь в условиях нашего эксперимента. После удаления когерентных событий осталось 1403 события, которые мы отнесли к неупругим взаимодействиям π^- -мезонов на квазисвободных нейтронах ядра углерода. Все вторичные отрицательные частицы в этих взаимодействиях считались π^- -мезонами. Из положительных частиц по ионизации выделялись протоны с импульсом до 800 МэВ/с. Они составляют ~ 20% от полного числа вторичных протонов *, т.е. в среднем на одно взаимодействие приходится 0,07 идентифицированных протона. Остальные положительные частицы принимались за π^+ -мезоны.

Быстрота неидентифицированных протонов / $P_{\text{р}} > 800 \text{ МэВ/с} /$, принятых при переходе в с.ц.м. за π^+ -ме-

$$* \sigma(\pi^- c \rightarrow \pi^+ \pi^- \pi^- c) = 3,7 \text{ мб}$$

$$\sigma(\pi^- c \rightarrow \pi^+ \pi^- \pi^- \pi^0 c) = 0,7 \text{ мб.}$$

** В предположении, что коэффициент перезарядки нейтрона в протон равен коэффициенту перезарядки протона в нейtron $a_{n \rightarrow p} = a_{p \rightarrow n} = 0,36 \pm 0,04 /11/$.

зоны, будет смещаться по оси быстрот в сторону больших значений вплоть до изменения знака быстроты /переход протона в переднюю полусферу/. В событиях с такими протонами значение ΔQ будет на единицу больше по сравнению с истинным. Доля таких событий невелика, но связанную с ними погрешность в определении $\langle \Delta Q \rangle$ следует иметь в виду.

2. Распределение π^- -событий по ΔQ

Распределение π^- -событий по ΔQ приведено в табл.1. Из этой таблицы можно видеть относительные вклады сечений с различными ΔQ в сечение неупругих π^- -взаимодействий. Как и для π^- -взаимодействий /3/, среднее значение $\Delta Q (y^* \geq 0)$ не равно нулю, а смещено в сторону положительных значений, $\langle \Delta Q \rangle = 0,23 \pm 0,03$, и наибольший вклад в неупругое сечение дают события с $\Delta Q=0$ и $\Delta Q=1 / \approx 75\% /$. Однако в случае π^- -взаимодействий $\langle \Delta Q \rangle$ в два раза меньше, чем для π^- -столкновений. Сравнение распределений по ΔQ для π^- - и π^- -событий показывает увеличение доли событий с $\Delta Q = -1$ и уменьшение доли событий с положительными значениями ΔQ в π^- -событиях по сравнению с π^- -событиями. Вклад событий с $\Delta Q = 0$ примерно одинаков в обоих типах взаимодействий. Квадрат дисперсии распределения по $\Delta Q (y^* \geq 0)$ равен $0,87 \pm 0,03$ и совпадает в пределах ошибок с D^2 для π^- -взаимодействий ($y^* \geq 0$).

Если сместить границу раздела двух областей по y^* с нуля на +1 или -1, то получим новые распределения событий по ΔQ , которые различаются между собой и отличаются от распределения по $\Delta Q (y^* \geq 0)$.

По мере смещения границы раздела от $y^* = -1$ до $y^* = +1$ увеличивается доля событий с положительными значениями ΔQ и уменьшается вклад событий с нулевыми и отрицательными значениями ΔQ . Данное обстоятельство приводит к изменению средних значений ΔQ от $0,07 \pm 0,02 (y^* \geq -1)$ до $0,51 \pm 0,03 (y^* \geq 1)$. Это говорит о том, что суммарный заряд частиц, имеющих быстроты в центральной области ($-1 \leq y^* \leq 1$), не равен нулю. В этой области число отрицательных частиц превышает число

Таблица 1

ΔQ	$y^* \geq -1$	$y^* \geq 0$	$y^* \geq +1$
-3	$0,14 \pm 0,10$	$0,67 \pm 0,25$	$0,07 \pm 0,07$
-2	$2,1 \pm 0,4$	$2,2 \pm 0,4$	$0,72 \pm 0,24$
-1	$15,5 \pm 1,1$	$13,9 \pm 1,0$	$11,6 \pm 0,9$
0	$58,1 \pm 1,8$	$49,0 \pm 1,7$	$38,0 \pm 1,5$
+1	$20,9 \pm 1,4$	$26,6 \pm 1,4$	$36,8 \pm 1,7$
+2	$3,1 \pm 0,5$	$6,3 \pm 0,7$	$11,2 \pm 0,9$
+3	$0,21 \pm 0,12$	$1,3 \pm 0,3$	$1,5 \pm 0,4$
+4	-	$0,07 \pm 0,07$	$0,07 \pm 0,07$
$\langle \Delta Q \rangle$	$0,07 \pm 0,02$	$0,23 \pm 0,03$	$0,51 \pm 0,03$
D^2	$0,60 \pm 0,02$	$0,87 \pm 0,03$	$0,87 \pm 0,04$

положительных. Для $\pi^- p$ -взаимодействий при нашей энергии наблюдается равенство числа положительных и отрицательных частиц в центральной области /3,12/. Здесь, по-видимому, имеет место компенсация влияния зарядов сталкивающихся частиц на центральную область.

В работах /3,8/ было показано, что распределения событий по $(\Delta Q - \langle \Delta Q \rangle)$ для $\pi^- p, k^- p$ и $p p$ -взаимодействий в интервале импульсов от 10 до 205 ГэВ практически не зависят от типа сталкивающихся частиц и их энергии. Распределение по $(\Delta Q - \langle \Delta Q \rangle)$ $\pi^- p$ -взаимодействий при 40 ГэВ/с хорошо вписывается в полученное ранее /3,8/ распределение, указывая тем самым на его универсальность /рис. 1/.

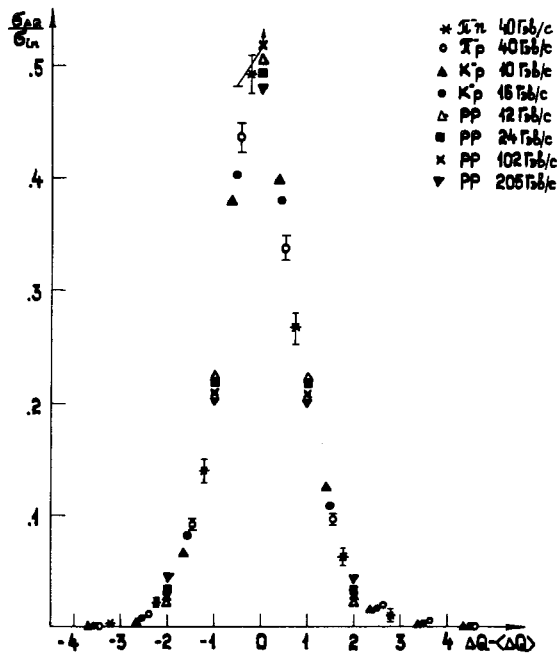


Рис. 1. Распределение событий от $\pi^- n$, $\pi^- p$, $k^- p$ и $p p$ -взаимодействий по величине $(\Delta Q - \langle \Delta Q \rangle)$.

3. Зависимость зарядового обмена от множественности вторичных заряженных частиц

Рассмотрим, как изменяется среднее значение $\langle \Delta Q \rangle$, квадрат дисперсии распределения по ΔQ , а также вклад событий с различными ΔQ в зависимости от числа заряженных частиц в событии (n_{\pm}).

Рис. 2 показывает, что $\langle \Delta Q \rangle$ растет линейно с увеличением n_{\pm} , причем скорость роста примерно такая же, как для $\pi^- p$ -взаимодействий [3]. Если аппроксимировать эту зависимость функцией вида $\langle \Delta Q \rangle = a + b n_{\pm}$, то для $\pi^- p$ -событий получим $b_{\pi^- p} = 0,027 \pm 0,007$, а для $\pi^- p$ - $b_{\pi^- p} = 0,040 \pm 0,05$. Относительный вклад

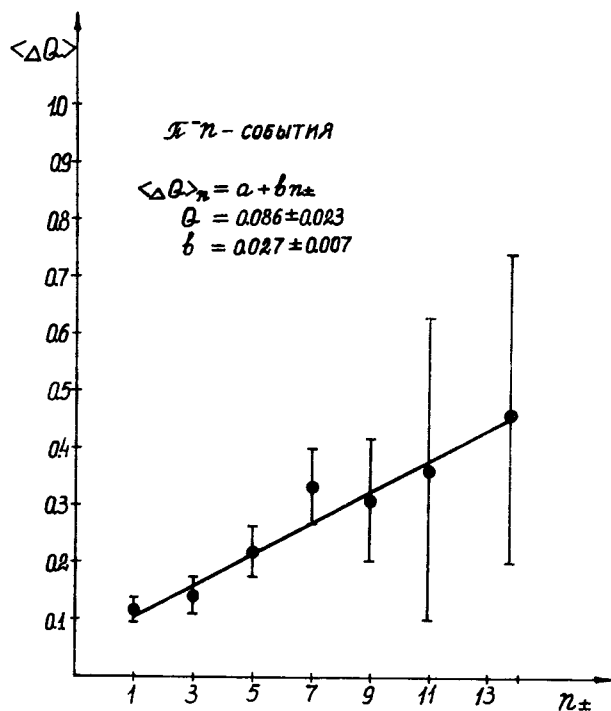


Рис. 2. Зависимость $\langle \Delta Q \rangle$ от множественности заряженных частиц в событии для $\pi^- p$ -взаимодействий при 40 ГэВ/с. Прямая - результат аппроксимации экспериментальных точек линейной функцией.

событий с различными ΔQ в каждую топологию ($\frac{\sigma_{\Delta Q}}{\sigma_n}$)

показан на рис. 3 вместе с данными для $\pi^- p$ -взаимодействий. Для обоих типов взаимодействий события с $\Delta Q = 0$ составляют наибольшую долю среди малолучевых событий, с увеличением множественности n_{\pm} доля таких событий убывает. Вклад событий с $\Delta Q = +1$ наименьший в однолучевых событиях (~12%), далее он возрастает с увеличением n_{\pm} и для $n_{\pm} > 5$ не зависит от множественности, оставаясь на уровне 30%. Похожая картина наблюдается для событий с $\Delta Q = +2$, только независимость

$\frac{\sigma_{\Delta Q}}{\sigma_n}$ от n_{\pm} наступает при больших n_{\pm} . Мало меняется с числом заряженных частиц $\frac{\sigma_{\Delta Q}}{\sigma_n}$ для событий с $\Delta Q = -1$.

Выше было отмечено, что для $\pi^- p$ -взаимодействий наблюдается увеличение доли событий с $\Delta Q = -1$ и уменьшение доли событий с $\Delta Q = 1$ и 2 по сравнению с $\pi^- p$ -взаимодействиями. Посмотрим, как эти изменения в распределении по ΔQ связаны с числом заряженных частиц в событии. Из рис. 3 видно, что наибольшее различие

в распределениях $\frac{\sigma_{\Delta Q}}{\sigma_n}$ для $\pi^- p$ и $\pi^- p$ -взаимодействий наблюдается при малых n_{\pm} (до 6). Для больших n_{\pm} распределения в пределах ошибок совпадают, и можно сказать, что в многолучевых событиях влияние типа нуклона мишени практически не оказывается на распределении по ΔQ ($\Delta Q = 0, \pm 1, \pm 2$). Различие в средних значениях ΔQ для многолучевых $\pi^- p$ и $\pi^- p$ событий обусловлено в основном событиями с $\Delta Q = -2, \pm 3, 4$.

Квадрат дисперсии распределения по ΔQ растет линейно с увеличением n_{\pm} (рис. 4). Аналогичная зависимость наблюдается для D^2 в $\pi^- p$ -взаимодействиях.

Распределения $\pi^- p$ событий с $\Delta Q = 0$ и $|\Delta Q| = 1$ по множественности заряженных частиц в переменных $\frac{\langle n_{\pm} \rangle \sigma_{\Delta Q}}{\sigma_{in}}$ и $n_{\pm} / \langle n_{\pm} \rangle$ показаны на рис. 5 вместе с

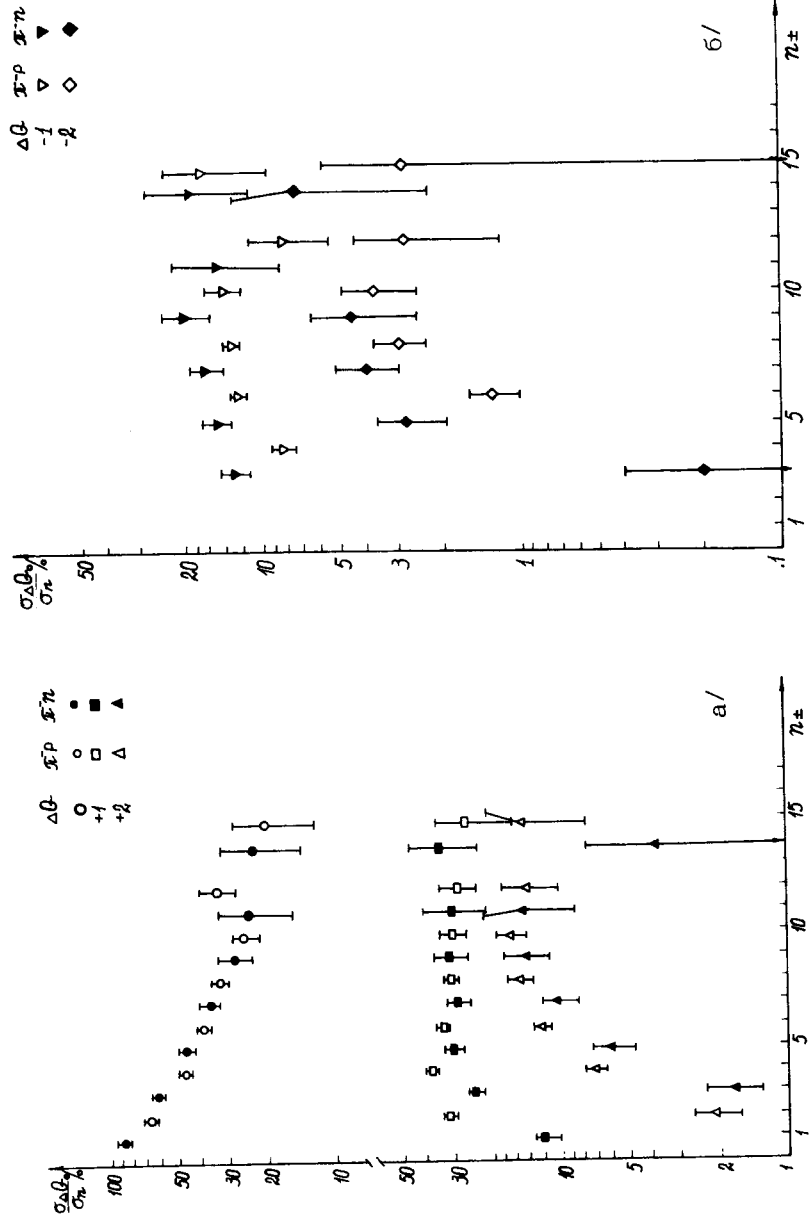


Рис. 3. Распределение событий от $\pi^-n - u \pi^+ p$ -взаимодействий при $40 \text{ ГэВ}/c$ с $\Delta Q = 0, 1, 2$ по множественности заряженных частиц в событии, $\sigma_{\Delta Q}$ дано в единицах топологических сечений; б) то же для событий с $\Delta Q = -1, -2$.

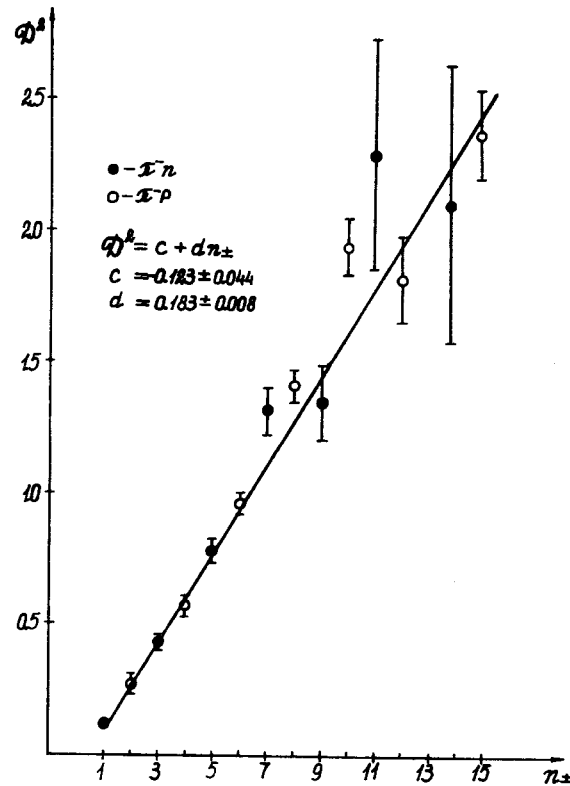


Рис. 4. Зависимость квадрата дисперсии распределений по ΔQ для π^-n и π^-p -взаимодействий от числа заряженных частиц в событии.

данными для $\pi^-p / 3/$ и $p p$ -взаимодействий /5,7/. Наблюдается общий характер функций $\frac{\langle n \rangle \sigma_{\Delta Q=0}}{\sigma_{in}} = \psi(\frac{n_+}{\Delta Q=0 \langle n_+ \rangle})$ для π^-n , π^-p и $p p$ -взаимодействий. То же самое можно сказать о $\psi|_{\Delta Q=1}(\frac{n_+}{\langle n_+ \rangle})$.

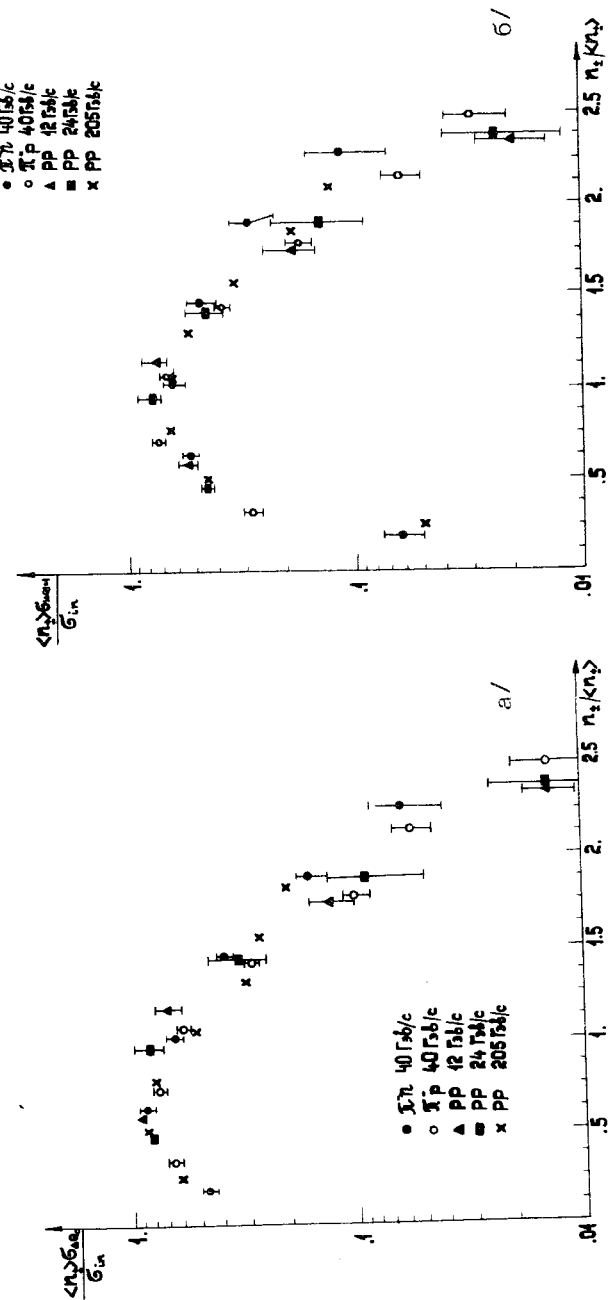


Рис. 5. Зависимость $\langle n_{\pm} \rangle$ от $\langle p_T \rangle$ для π^-p -взаимодействий; б) зависимость $\frac{\langle n_{\pm} \rangle}{\sigma_{in}}$ от $\frac{\langle p_T \rangle}{\sigma_{in}}$ для тех же взаимодействий.

Данные по средней миожественности заряженных частиц $\langle n_{\pm} \rangle$, топологическим сечениям σ_{in} , а также значение сечения неупругого π^-p -взаимодействия σ_{in} взяты из работы /13/.

Заключение

Анализ зарядового обмена в π^-p -взаимодействиях при 40 ГэВ/с и сравнение с результатами, полученными для π^-p -взаимодействий при той же энергии, показали:

1/ доля событий с $\Delta Q = 0$ примерно одинакова среди π^-p и π^-p' -взаимодействий;

2/ распределения событий с $\Delta Q \neq 0$ различны для π^-p и π^-p' -взаимодействий, что приводит к различным средним значениям $\langle \Delta Q \rangle_{\pi^-p} = 0,23 \pm 0,03$, $\langle \Delta Q \rangle_{\pi^-p'} = 0,490 \pm 0,015$;

3/ существенный вклад событий с $\Delta Q \neq 0$ в рассматриваемые взаимодействия указывает на преимущественную роль в них процессов недифракционного типа;

4/ среднее значение ΔQ имеет наименьшую величину в однолучевых событиях и линейно растет с увеличением числа заряженных частиц в событии;

5/ квадрат дисперсии распределения по ΔQ линейно растет с увеличением миожественности заряженных частиц.

6/ распределение π^-p -событий по $(\Delta Q - \langle \Delta Q \rangle)$ хорошо вписывается в распределение, полученное для π^-p , k^-p -и $p-p$ -взаимодействий в интервале импульсов от 12 до 205 ГэВ/с.

Авторы выражают благодарность К.П. Вишневской, В.Г. Гришину, С.В. Джмухадзе, Л.А. Диденко, Т. Канараку, Т.Я. Иногамовой, В.Б. Любимову, В.Ф. Никитиной, В.М. Поповой, М.Сабэу, Х.И. Семерджиеву, М.И. Соловьеву, А.Н. Соломину, М.М. Суд, Э.Т. Цивциладзе, Л.М. Щегловой, Г.Янчо за участие в обработке событий, полезные обсуждения и советы.

Авторы благодарны лаборантам ЛВЭ и ЛВТА за просмотр и измерения событий, а также Н. Матасовой за помощь в оформлении рисунков.

Литература

1. T.T.Chou, C.N.Yang. *Phys.Rev.*, D7, 1425 (1973).
2. C.Guigg, G.H.Thomas. *Phys.Rev.*, D7, 2752 (1973).
3. Н.Ангелов, И.А.Ивановская, Е.Н.Кладницкая и др.
ОИЯИ, Р1-8036, Дубна, 1974; ЯФ, т. 21, в. 2, 321, 1975.
4. Aachen-Berlin-CERN-London-Vienna Collaboration.
P.Bosetti, M.Deutschmann, H.Kirt et al. *Nucl.Phys.*, B62, 46 (1973).
5. Bonn-Hamburg-Munchen Collaboration. U.Idschok,
P.Kobe, F.Selonke et al. *MPI-PAE/EXP., EI29(1973).*
6. C.M.Bromberg, D.Chaney, D.Cohen et al. *Phys.Rev.*, D9, 1864 (1974).
7. J.Whitmore. *Phys.Rep.*, 10C, 273 (1974).
8. H.Wahl. *Aix-en-Provence Conf.*, p. 373 (1973).
9. А.У.Абдурахимов, Н.Ангелов, В.А.Беляков и др.
ОИЯИ, Р1-6326, Дубна, 1972.
10. А.У.Абдурахимов, Н.Ангелов, В.А.Беляков и др.
ОИЯИ, Р1-6491, Дубна, 1972. ЯФ, т. 16, в. 5, 989, 1972.
11. V.G.Grishin, G.Jancso, S.P.Kuleshov, V.A.Matveev,
A.N.Sissakian. *JINR, E2-6596, Dubna, 1972. Lett. Nuovo Cim.*, 8, 590 (1973).
12. А.У.Абдурахимов, Н.Ангелов, К.П.Вишневская и др.
ОИЯИ, Р1-7103, Дубна, 1973.
ЯФ, т. 18, в. 3, 545, 1974.
Nucl.Phys., B72, 189 (1974).
13. O.Balea, V.Boldea, S.Felea et al. *Nucl.Phys.*, B52, 414 (1973).

Рукопись поступила в издательский отдел
11 марта 1975 года.